

Плазмон-поляритоны на уединенном волновом пакете электрона

Акимов И.М.¹, Казинский П.О., Соколов А.А.

Томский государственный университет
Электронная почта: 1 - ima8908@mail.ru

Россия, г.Москва, Институт ядерных исследований РАН.
Сессия-конференция «Физика фундаментальных
взаимодействий», 17-21 февраля 2025 г.

Основано на работе arXiv:2412.00750 (принята к публикации в Phys.Rev.D).
Доклад выполнен при поддержке гранта Правительства Российской Федерации (Соглашение № 075-15-2024-667 от 23.08.2024 г.)

Краткая аннотация работы

- 1 В данной работе методами *in-in* теории возмущений получен поляризационный оператор фотона в присутствии волнового пакета одного электрона.
- 2 В работе получены явные решения эффективного уравнения Максвелла, когда характерные размеры волнового пакета электрона много больше длины волны внешнего поля.
- 3 Показано, что в инфракрасном пределе дополнительные степени свободы сводятся к динамическому дипольному моменту электрона.

Используемые обозначения

В представлении взаимодействия состояние электрона в момент времени $t = 0$ задаётся в виде

$$|\overline{in}\rangle = \sqrt{\frac{V}{(2\pi)^3}} \sum_s \int d\mathbf{p} \varphi_s(\mathbf{p}) \hat{a}_s^\dagger(\mathbf{p}) |0\rangle. \quad (1)$$

Условие нормировки имеет вид

$$\sum_s \int d\mathbf{p} |\varphi_s(\mathbf{p})|^2 = 1. \quad (2)$$

В $in - in$ теории возмущения, с использованием представления Швингера, вершина взаимодействия имеет вид

$$S_{int} = -e \sum_{a=\pm} a \int d^4x \bar{\psi}^a \gamma^\mu A_\mu^a \psi^a. \quad (3)$$

J. Schwinger, J. Math. Phys. **2**, 407 (1961).

Поляризационный оператор

Поляризационный оператор определяется стандартным образом

$$\Pi_{\mu\nu}^{ab}(x, y) := \frac{\delta^2 \bar{\Gamma}[A_a, \bar{\psi}_a, \psi_a]}{\delta A_a^\mu(x) \delta A_b^\nu(y)} \Big|_{A_a^\mu(x)=0, \psi_a(x)=\bar{\psi}_a(x)=0}, \quad (4)$$

где $\bar{\Gamma}[A_a, \bar{\psi}_a, \psi_a]$ обозначает квантовые поправки к эффективному действию в *in-in* теории возмущения.

Поляризационный оператор представим в виде

$$\Pi_{ab}^{\mu\nu}(x, y) = \overset{0}{\Pi}_{ab}^{\mu\nu}(x, y) + \overset{\psi}{\Pi}_{ab}^{\mu\nu}(x, y), \quad (5)$$

где $\overset{0}{\Pi}_{ab}^{\mu\nu}$ - независимая от формы волнового пакета часть поляризационного оператора. Далее такие слагаемые мы будем называть “вакуумными”.

Поляризационный оператор

Переход от представления Швингегра к представлению Келдыша осуществляется с помощью преобразования

$$A_{\mu}^{\pm} = A_{\mu}^c \pm \frac{1}{2} A_{\mu}^q. \quad (6)$$

В представлении Келдыша вакуумный поляризационный оператор, зависящий от импульса, после перенормировки будет иметь стандартный вид

$$\begin{aligned} \overset{0}{\Pi}_{qc}^{\mu\nu}(k) &= (k^2 \eta^{\mu\nu} - k^{\mu} k^{\nu}) \overset{0}{\Pi}(k_+^2), \\ \overset{0}{\Pi}_{qq}^{\mu\nu}(k) &= -\frac{4i\alpha}{3} \sqrt{1 - \frac{4m^2}{k^2}} \left(1 + \frac{2m^2}{k^2}\right) \theta(k^2 - 4m^2) \times \\ &\quad \times (k^2 \eta^{\mu\nu} - k^{\mu} k^{\nu}), \end{aligned} \quad (7)$$

$$\text{где } \overset{0}{\Pi}(k^2) = \frac{2\alpha}{\pi} \int_0^1 dx x(1-x) \ln(1 - x(1-x) \frac{k^2}{m^2})$$

L. V. Keldysh, Zh. Eksp. Teor. Fiz. **47**, 1515 (1964) [Sov. Phys. JETP **20**, 1018 (1965)].

M. E. Peskin, D. V. Schroeder, *An Introduction to Quantum Field Theory* (Addison-Wesley, Reading, 1995).

Поляризационный оператор

В представлении Келдыша часть поляризационного оператора, зависящая от волнового пакета, будет иметь вид

$$\begin{aligned} \overset{\psi}{\Pi}_{qc}^{\mu\nu}(x, y) &= -e^2 \bar{\psi}(x) \gamma^\mu S_-(x, y) \gamma^\nu \psi(y) \\ &\quad - e^2 \bar{\psi}(y) \gamma^\nu S_+(y, x) \gamma^\mu \psi(x), \end{aligned} \quad (8)$$

где

$$\psi(x) = \langle 0 | \hat{\psi}(x) | i\bar{n} \rangle = \sum_s \int d\mathbf{p} \sqrt{\frac{m}{(2\pi)^3 p_0}} u_s(\mathbf{p}) \varphi_s(\mathbf{p}) e^{-ip_\mu x^\mu}. \quad (9)$$

Для описания смешанных состояний удобно будет ввести релятивистскую матрицу плотности

$$\psi(x) \bar{\psi}(y) \rightarrow \rho(x, y). \quad (10)$$

Эффективные уравнения Максвелла

Эффективные уравнения Максвелла в импульсном представлении будут иметь вид

$$\begin{aligned} & -(1 - \overset{0}{\Pi}(k_+^{\prime 2}))(k^{\prime 2}\eta^{\mu\nu} - k^{\prime\mu}k^{\prime\nu})A_\nu(k') + \\ & + \int \frac{d^4k}{(2\pi)^4} \overset{\psi}{\Pi}_{qc}^{\mu\nu}(k', k)A_\nu(k) = 0. \end{aligned} \quad (11)$$

$$\begin{aligned} \overset{\psi}{\Pi}_{qc}^{\mu\nu}(k', k) = & -2\pi e^2 m \sum_{s, s'} \int d\mathbf{p}_c d\mathbf{q} \delta(k' - k - q) \frac{\rho_{ss'}(\mathbf{p}, \mathbf{p}')}{\sqrt{p_0 p'_0}} \times \\ & \times \bar{u}_{s'}(\mathbf{p}') \left[\frac{\gamma^\mu (\hat{p}_c + \hat{k}_c + m)\gamma^\nu}{(p^c + k_+^c)^2 - m^2} + \frac{\gamma^\nu (\hat{p}_c - \hat{k}_c + m)\gamma^\mu}{(p^c - k_+^c)^2 - m^2} \right] u_s(\mathbf{p}), \end{aligned} \quad (12)$$

где $q_\mu = k'_\mu - k_\mu = p_\mu - p'_\mu$, $p_\mu^c := (p_\mu + p'_\mu)/2$, и $k_\mu^c := (k_\mu + k'_\mu)/2$.

Коротковолновый предел

Для дальнейших рассуждений, нам будет удобно ввести вейлевский символ поляризационного оператора

$$\begin{aligned}\Pi(x_c, k_c) &= \int \frac{d^4 q}{(2\pi)^4} e^{-iqx_c} \Pi(k_c + q/2, k_c - q/2) \\ &= \int d^4 z e^{ik_c z} \Pi(x_c + z/2, x_c - z/2).\end{aligned}\tag{13}$$

Пусть теперь масштаб изменения вейлевского символа велик. Также будем считать, что волновой пакет электрона достаточно узок в пространстве импульсов, т.е.

$$|\mathbf{q}| \ll p_0^c, \quad |\mathbf{q}| \ll |\mathbf{p}_0^c|, \quad |\mathbf{q}| \ll |k_0^c|, \quad |\mathbf{q}| \ll |\mathbf{k}_c|.\tag{14}$$

Коротковолновый предел

В таком случае поляризационный оператор можно записать в виде

$$\begin{aligned} \Pi_{qc}^{\mu\nu}(x, k_c) = & \frac{\omega_p^2(x)}{(k_c p_c)^2 - k_c^4/4} \left[(k_c p_c)^2 \eta^{\mu\nu} - (k_c p_c) k_c^{(\mu} p_c^{\nu)} + \right. \\ & \left. + k_c^2 p_c^\mu p_c^\nu - \frac{imk_c^2}{2} \varepsilon^{\mu\nu\rho\sigma} k_\rho^c s_\sigma(x, \mathbf{p}_c) \right], \end{aligned} \quad (15)$$

где s_μ - вектор спина электрона, $\omega_p^2(x) := e^2 \rho(x)/m$.

D. B. Melrose, Rev. Mod. Plasma Phys. 4, 8 (2020).

F. Haas, G. Manfredi, M. Feix, Phys. Rev. E 62, 2763 (2000).

Плазмон-поляритонные решения

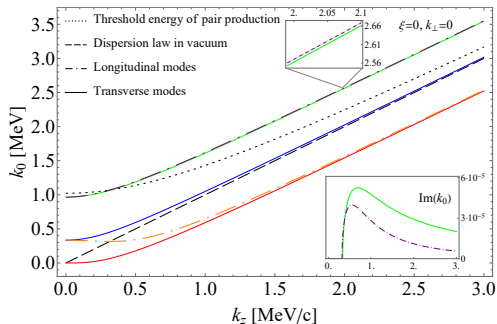
Будем решать уравнения в системе покоя электрона. Поляризационный оператор имеет особенность, когда

$$(kp)^2 - k^4/4 = m^2 k_0^2 - k^4/4 = 0. \quad (16)$$

Считаем, что плазменная частота и спин не зависят от координат. Тогда уравнение Максвелла записывается в пространстве импульсов в виде

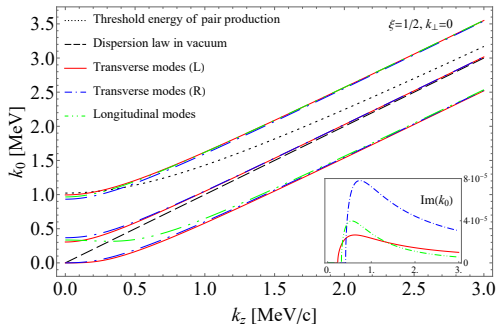
$$\left\{ -k^2 \eta^{\mu\nu} + k^\mu k^\nu + \frac{\omega_p^2(k)}{(kp)^2 - k^4/4} [(kp)^2 \eta^{\mu\nu} - (kp)k^{(\mu} p^{\nu)} + k^2 p^\mu p^\nu - \frac{imk^2}{2} \varepsilon^{\mu\nu\rho\sigma} k_\rho s_\sigma] \right\} A_\nu(k) = 0. \quad (17)$$

Плазмон-поляритонные решения



На рисунке показаны законы дисперсии плазмон-поляритонных мод для одиночного неполяризованного электрона в системе покоя электрона. Также показаны закон дисперсии в вакууме и порог образования электрон-позитронной пары. Энергии плазмон-поляритонов, превышающие порог образования пары, обладают положительными мнимыми частями, представленными на вставке.

Плазмон-поляритонные решения



На данном рисунке то же, что и на первом, но для одного частично поляризованного электрона с степенью поляризации $\xi = 1/2$. В данном случае происходит расщепление мод, которые были в неполяризованном случае

Инфракрасный предел

Рассмотрим другой предел для поляризационного оператора. Будем считать, что длина волны внешнего поля много больше характерных размеров волнового пакета электрона в координатном и импульсном пространстве.

$$|k^\mu| \ll |p^\mu|, \quad |q^\mu| \ll |p^\mu|, \quad (18)$$

и

$$\rho_{ss'}(\mathbf{p}, \mathbf{p}') \approx \rho_{ss'}(\mathbf{p}_c, \mathbf{p}_c) e^{-i\mathbf{q}\mathbf{x}_0}. \quad (19)$$

В таком приближении в ведущем порядке поляризационный оператор имеет вид

$$\begin{aligned} \Pi_{qc}^{\mu\nu}(k, k') &\approx -\frac{1}{m} \left[\eta^{\mu\nu} - \frac{k^\mu p_c^\nu}{(kp_c)} - \frac{p_c^\mu k'^\nu}{(k'p_c)} + \frac{(k'k)p_c^\mu p_c^\nu}{(k'p_c)(kp_c)} \right] \\ &=: -\frac{1}{m} \pi^{\mu\nu}(k', k), \end{aligned} \quad (20)$$

Инфракрасный предел

Тогда эффективные уравнения Максвелла без источников принимают вид

$$(\square\eta^{\mu\nu} - \partial^\mu\partial^\nu)A_\nu(x) + \frac{e^2}{m} \int d\tau \pi^{\mu\nu} \left(i \frac{\partial}{\partial x}, i \frac{\partial}{\partial x} \Big|_A \right) \delta(x - x(\tau)) A_\nu(x) = 0. \quad (21)$$

Несложно проверить, что действие

$$S[A_\mu(x), d_\mu(\tau)] := -\frac{1}{4} \int d^4x F_{\mu\nu}(x) F^{\mu\nu}(x) + \int d\tau \left[-\frac{1}{8\pi r_0} \dot{d}_\perp^\mu \eta_{\mu\nu} \dot{d}_\perp^\nu + \dot{x}^\mu F_{\mu\nu}(x(\tau)) d^\nu \right], \quad (22)$$

где $r_0 := \alpha/m$ - классический радиус электрона, d^μ - динамический дипольный момент, $d_\perp^\mu := d^\mu - (\dot{x}d)\dot{x}^\mu$, $p_c^\mu = m\dot{x}^\mu$, и τ - натуральный параметр на мировой линии электрона, воспроизводит эффективные уравнения после исключения d^μ .

В работе показано, что в когерентных процессах волновой пакет одного электрона несет на себе дополнительные степени свободы – плазмоны. В инфракрасном пределе эти дополнительные степени свободы сводятся к вектору дипольного момента.

Подробнее смотри в работе [arXiv:2412.00750](https://arxiv.org/abs/2412.00750).